

# B样条曲线的奇点控制\*

林 瑞 麟

(华侨大学机械工程系, 泉州 362011)

**摘要** 本文探讨三次参数曲线和B样条曲线奇点产生的机理, 阐明多边形基元所确定的曲线形状, 为奇点控制提供直观而方便的方法. 分析运动机构奇异情形发生的位置与终端效应系数的关系, 为在机构设计中防止产生奇异提供依据.

**关键词** 奇点, B样条, 控制, 奇异性

**分类号** TH 123.1

轨迹曲线的设计是个很重要的课题, 它涉及到机器外型设计, 数控加工的样条曲线设计各机器人的位姿轨迹曲线规划. 基于不同目的与需要, 对曲线的流畅轮廓, 精密的形状或位置精度就有不同的要求. 它们共同的问题是必须避免曲线出现奇点, 或运动机构避免出现奇异现象. 关于这方面的研究, 刘鼎元于1980年用代数方法求解三次参数曲线的奇点位置. 之后, Sugimoto, Wsldron 和 Litvin 等人也研究了机械约束系统运动中的奇异问题, 提出用逼近方法测定奇异位置<sup>[1~3]</sup>, 但其中有的要求条件相当苛刻, 有的偏于抽象. 本文应用代数及机构学术解方法研究曲线奇点及机构奇异的控制, 具有直观, 简便和易于掌握的特点.

## 1 参数曲线分析

奇点的产生与曲线的生成有密切关系, 于此分析几种常用曲线.

### 1.1 三次参数曲线

$$\left. \begin{aligned} X &= a_0 + a_1 t + \frac{1}{2} a_2 t^2 + \frac{1}{6} a_3 t^3, \\ Y &= b_0 + b_1 t + \frac{1}{2} b_2 t^2 + \frac{1}{6} b_3 t^3. \end{aligned} \right\} \quad (1)$$

仿射变换, 设  $p = a_2 b_3 - a_3 b_2$ ,  $q = a_3 b_1 - a_1 b_3$ ,  $r = a_1 b_2 - a_2 b_1$ .  $p, q, r$  是向量  $a = (a_1, a_2, a_3)$  和向量  $b = (b_1, b_2, b_3)$  的向量积  $a \times b$  的三个分量. 将三次参数曲线(1)写成向量形式

$$P(t) = P_0 + P_1 t + \frac{1}{2} P_2 t^2 + \frac{1}{6} P_3 t^3. \quad (2)$$

此时  $p = [P_2 P_3]$ ,  $q = [P_3 P_1]$ ,  $r = [P_1 P_2]$  为向量分量组成的二阶行列式. 三次参数曲线段的 Hermite 插值表示为

\* 本文 1994-05-13 收到; 福建省自然科学基金资助项目

$$P(t) = \overrightarrow{OM_0} + t^2(3-2t)L + t(t-1)^2A_0 + t^2(t-1)A_1, \quad (3)$$

式中  $L = \overrightarrow{M_0M_1}$  (图1),  $A_0, A_1$  为两端点  $M_0, M_1$  处的切向量. 取  $\overrightarrow{M_0M} = \tau_0, \overrightarrow{MM_1} = \tau$  为单位向量, 则  $A_0 = \lambda\tau_0, A_1 = \mu\tau$ . 其中  $\lambda$  和  $\mu$  为两端点切向量的相对长度.

## 1.2 B样条曲线

给定  $n+1$  个空间向量  $b_k (k=0, 1, \dots, n)$  的  $n$  次 B 样条参数曲线

$$P_i, n(t) = \sum_{L=0}^n b_{i+L} F_{L, n}(t), \quad 0 \leq t \leq 1, \quad (4)$$

式中

$$F_{L, n}(t) = \frac{1}{n!} \sum_{j=0}^{n-L} (-1)^j C_{n+1}^j (t+n-L-j)^n \quad (L=0, 1, \dots, n),$$

$$C_{n+1}^j = \frac{n!}{j!(n-j)!} + \frac{n!}{(j-1)![n-(j-1)]!} \quad (j=0, 1, \dots, n).$$

对于二次 B 样条曲线  $n=2$ , 从式(4)有

$$F_{0,2}(t) = \frac{1}{2}(t-1)^2, F_{1,2}(t) = \frac{1}{2}(-2t^2+2t+1), F_{2,2}(t) = \frac{1}{2}t^2.$$

$$P(t) = \sum_{L=0}^2 b_L F_{L,2}(t) = [t^2 t 1] \frac{1}{2} \begin{bmatrix} 1 & -2 & 1 \\ -2 & 2 & 0 \\ 1 & 1 & 0 \end{bmatrix} \begin{bmatrix} b_0 \\ b_1 \\ b_2 \end{bmatrix},$$

$$0 \leq t \leq 1, \quad (5)$$

式(5)为写成矩阵形式的二次 B 样条曲线.

## 1.3 三次参数曲线段的等价表示

三次 Bézier 曲线和三次 B 样条曲线段, 都是三次参数曲线段的不同表达式. 从代数上看, 这三种表示式可以统一在矩阵形式之下

$$P(t) = tB_i b^i, 0 \leq t \leq 1, (i=1, 2, 3), \quad (6)$$

$t = [t^3 t^2 t 1]^T, b^i = [b_0^i b_1^i b_2^i b_3^i]^T$ , 矩阵  $B_i (i=1, 2, 3)$  依次是

$$\begin{bmatrix} 1 & & & 0 \\ & 1 & & \\ & & 1 & \\ 0 & & & 1 \end{bmatrix}, \begin{bmatrix} -1 & 3 & -3 & 1 \\ 3 & -6 & 3 & 0 \\ -3 & 3 & 0 & 0 \\ 1 & 0 & 0 & 0 \end{bmatrix}, \frac{1}{6} \begin{bmatrix} -1 & 3 & 3 & 1 \\ 3 & -6 & 3 & 0 \\ -3 & 0 & 3 & 0 \\ 1 & 4 & 1 & 0 \end{bmatrix}.$$

$i=1$  是通常三次参数曲线段的 Ferguson 表示式, 适用于数值计算.  $i=2$  表示三次 Bézier 曲线,  $[b]^2$  表示对应的特征多边形的顶点序列.  $i=3$  为三次 B 样条曲线的一段,  $b^3$  表示对应的 B 特征多边形顶点序列. 曲线段  $P(t)$  的形状完全取决于矩阵信息  $b^i$ . 同一条三次参数曲线段  $L$ , 它的三种表示式之间可以转换, 因此它们的奇点分布及控制方法是相似的.

## 2 三次参数曲线段的奇点判断与控制

### 2.1 奇点存在判断式

由相对仿射不变量

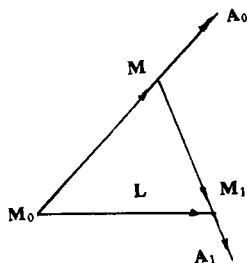


图1 端点向量

$$I = (q/p)^2 - 2r/p \quad (7)$$

可判定:  $I > 0$  时, 曲线有两个实拐点, 而无实奇点;  $I = 0$  时, 曲线上出现一个尖点, 而无实拐点;  $I < 0$  时, 曲线上出现一个二重点.

## 2.2 奇点位置的判断

从曲线分量  $x(t)$  及  $y(t)$  的各型值点序列的突变转折位置, 找到对应的  $t$  轴上的  $t_i$  点为奇点位置. 例如三次参数曲线段(图 2)为

$$\begin{cases} x = 1.78t - \frac{1}{2}3.7t^2 + \frac{1}{2}0.4t^3, \\ y = 0.35 + 0.27t + \frac{1}{2}5t^2 - \frac{1}{6}23t^3. \end{cases}$$

取  $a_1 = 1.78, a_2 = -3.7, a_3 = 0.4, b_1 = 0.27, b_2 = 5, b_3 = -23$ , 将  $(a_1, a_2, a_3)$  和  $(b_1, b_2, b_3)$  值代入仿射变换式及式(7)可算得  $I = 0$ , 从而判定曲线上存在一尖点. 函数  $x(t), y(t)$  的型值数值为

$t$	0	0.16	0.33	0.50	0.66	0.76	0.83	0.86	1
$x$	0	0.238	0.388	0.436	0.390	0.315	0.242	0.208	0
$y$	0.35	0.442	0.574	0.631	0.516	0.318	0.106	0	

从数值序列分析中, 可以确定  $t = 0.5$  为尖点位置.

## 2.3 奇点消除

**2.3.1 端矢量长度的调整** 由式(3)可知, 当曲线段的两个端点处的切向量给定时, 曲线段形状就唯一决定. 不改变两端点切向量的方向, 而调整其相对长度  $\lambda, \mu$ , 便可控制曲线的形状.

当端向量  $A_0 \nparallel A_1$  时, 不形成奇点的  $\lambda, \mu$  值为:  $p = [P_2 P_3] > 0$  时,  $0 < \lambda < 2, 0 < \mu < 2; p < 0$  时,  $\lambda < 0, \mu < 0$ . 当端向量  $A_0 \parallel A_1$  时, 只有  $A_0$  和  $A_1$  反向, 曲线段上才无奇点产生.

**2.3.2 顶点位置调整** 对于用逼近方法形成的曲线, 特征多边形的形状也就决定样条曲线的形状. 整体特征多边形, 可看成由数个特征三角形的组合, 通过对特征三角形顶点位置的调整, 便可改变各段曲线的形状, 控制曲线段上的奇点. 因此, 对不同特征三角形曲线性质的分析, 便可为顶点的调整提供依据. (1) 凸形特征三角形(图 3), 其逼近的曲线段也为凸形, 没有拐点和奇点. (2) 之字特征三角形,  $\alpha > 25^\circ$  (图 4), 端点  $b_0, b_3$  的向量  $A_0 \parallel A_3$ , 且反向, 或  $A_0 \nparallel A_3$  时, 无奇点, 但有拐点. (3) 尖咀形特征三角形, 当  $\alpha > 15^\circ$  时, 无奇点, 无拐点; 当  $5^\circ < \alpha < 14^\circ$  时有二重点;  $0 < \alpha \leq 5^\circ$  时有尖点(图 5). (4) 交叉特征三角形(图 6), 设  $\overline{b_0 k} / \overline{b_0 k} < 1/2$  及  $\overline{b_2 k} / \overline{b_3 k} < 1/2$  时, 无奇点. 当  $\overline{b_0 k} / \overline{b_1 k} = 1$  及  $\overline{b_3 k} / \overline{b_2 k} = 1$  时, 有尖点, 当  $\overline{b_1 k} / \overline{b_0 k} > 2$  及  $\overline{b_2 k} / \overline{b_3 k} > 2$  时, 有二重点.

## 3 从机构学角度分析奇异性问题

多边形顶点调整曲线段形状的机理, 从机构学上来说, 就是调整运动副关节的转角  $\theta$  及调整机器人机构的姿态元素. 设关节(旋转关节或柱关节)的位移向量为  $\theta$ , 末端杆的角速度为  $\omega_n$ , 线速度为  $u_n$ , 机器人开链机构运动方程的矩阵表达式为

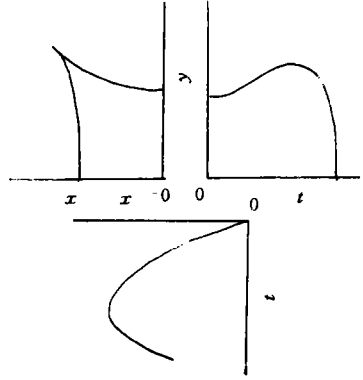


图 2 三次参数曲线

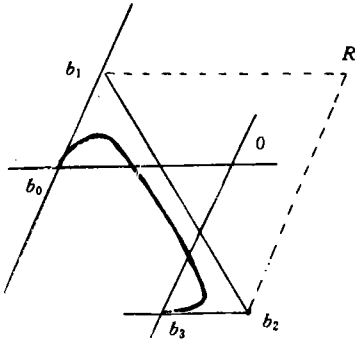


图 3 凸形曲线

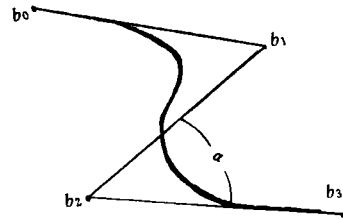


图 4 之字形曲线

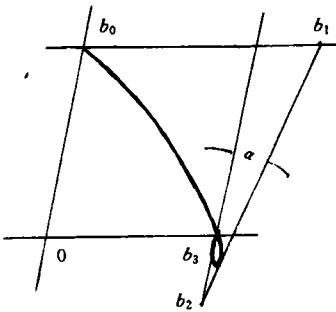


图 5 尖咀形三角形

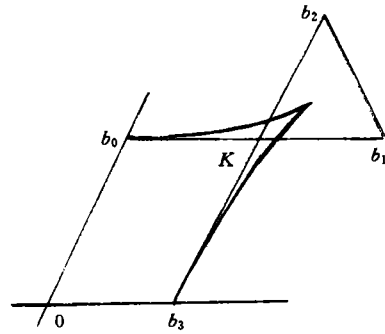


图 6 交叉形三角形

$$[\omega_n \dots u]^T = J[\theta_1 \theta_2 \dots \theta_n]^T \quad (8)$$

式(8)可写成  $V = J\theta$ ,  $\theta = [\theta_1 \theta_2 \dots \theta_n]^T$ ,  $J$  为雅可比矩阵。

雅可比矩阵是机构关节位移的函数,表示机构关节速度与末端(手爪)直角坐标速度之间的线性变换关系,随着机构形态的变化,雅可比矩阵的值将有所不同。例如,Unimation puma 控制机构(图 7)有 6 个自由度,其末端第 6 节连杆为可动,其系统末端的运动方程为

$$V = J\theta = \begin{bmatrix} a_{11} & a_{12} & a_{13} & 0 & 0 & a_{16} \\ a_{21} & a_{22} & a_{23} & 0 & 1 & 0 \\ a_{31} & 0 & 0 & 1 & 0 & a_{36} \\ a_{41} & a_{42} & a_{43} & 0 & 0 & 0 \\ a_{51} & a_{52} & a_{53} & 0 & 0 & 0 \\ a_{61} & a_{62} & 0 & 0 & 0 & 0 \end{bmatrix} \begin{bmatrix} \theta_{01} \\ \theta_2 \\ \theta_{23} \\ \theta_{34} \\ \theta_{45} \\ \theta_{56} \end{bmatrix} \quad (9)$$

在式(9)中,  $a_{11} = \sin(\theta_{12} + \theta_{23})\cos\theta_{34}$ ,  $a_{12} = a_{13} = \sin\theta_{34}$ ,  $a_{16} = \sin\theta_{45}$ ,  $a_{21} = \sin(\theta_{12} + \theta_{23})\sin\theta_{34}$ ,  $a_{22} = a_{23} = -\cos\theta_{34}$ ,  $a_{31} = -\cos(\theta_{12} + \theta_{23})$ ,  $a_{36} = -\cos\theta_{45}$ ,  $a_{41} = -a_2\cos\theta_{12}\sin\theta_{34} + s_{12}\cos\theta_{34}\cos(\theta_{12} + \theta_{23}) - s_{34}\sin\theta_{34}\sin(\theta_{12} + \theta_{23})$ ,  $a_{42} = (a_2\sin\theta_{23} + s_{34})\cos\theta_{34}$ ,  $a_{43} = s_{34}\cos\theta_{34}$ ,  $s_{51} = a_2\cos\theta_{12}\cos\theta_{34} + s_{12}\sin\theta_{34}\cos(\theta_{12} + \theta_{23}) + s_{34}\cos\theta_{34}\sin(\theta_{12} + \theta_{23})$ ,  $a_{52} = (a_2\sin\theta_{23} + s_{34})\sin\theta_{34}$ ,  $a_{53} = s_{34}\sin\theta_{34}$ ,  $a_{61} = s_{12}\sin(\theta_{12} + \theta_{23})$ ,  $a_{62} = -a_2\cos\theta_{23}$ 。其中  $a_2$  为第 2 杆的长度,  $s_{34}$  为第 3 与第 4 两运动副之间的距离。

当  $J$  矩阵系统的秩  $r < 6$  时,特殊位型结构的奇异公式[2]为

$$f(\theta_{34}, \theta_{45}, \theta_{12}, \theta_{23}, S_{34}) = 0. \quad (10)$$

由式(9),(10)得 Unimation Puma 控制机构的奇异公式<sup>(2)</sup>为

$$a_2 s_{34} \cos \theta_{34} \sin \theta_{45} [a_2 \cos \theta_{12} + s_{34} \sin(\theta_{12} + \theta_{23})] = 0. \quad (11)$$

由坐标变换式  $T_{on} = T_{01} T_{12} \cdots T_{(i-1)i} \cdots T_{(n-1)n}$ , 可得  $\beta_{14}$  和  $\beta_{24}$  的表示( $\beta_{KL}$  为相应坐标系关节轴夹角的余弦). 将式(11)变换为  $a_2 \cos \theta_{12} + S_{34} \sin(\theta_{12} + \theta_{23}) = \beta_{14} \cos \theta_{01} - \beta_{24} \sin \theta_{01}$ . 因此, 奇异公式由因式分解式表示为

$$\cos \theta_{23} \sin \theta_{45} (\beta_{14} \cos \theta_{01} - \beta_{24} \sin \theta_{01}) = 0, \quad (12)$$

分析式(12)可得到满足的情况为:(1) 当  $\cos \theta_{23} = 0$  时, 机构的特殊位形发生在关节轴  $S_2, S_3$ , 并且三轴汇交;(2) 当  $\sin \theta_{45} = 0$  时, 机构的特殊位形发生在关节轴  $S_4, S_5$ , 呈现连杆 4, 5 平行,  $S_4, S_6$ , 共轴, 且三轴汇交共面;(3) 当  $\beta_{14} \cos \theta_{01} - \beta_{24} \sin \theta_{01} = 0$  时, 机构的特殊位形发生在三轴汇交的交点位于  $S_1$  轴线上. 以上三种情况, 其中任何一种得到满足时, 奇异便发生.

一般开链机构由  $N(N \leq 6)$  个单自由度运动副串联而成.  $N$  个运动副变成线性无关时, 终端执行器便有  $N$  个自由度. 然而, 当机构处于某一特殊位置时, 运动副中的两个或更多变成线性相关, 则雅可比矩阵  $J$  的秩  $r$  下降, 且存在一个或一个以上的约束反力与之相逆. 同时末端的自由度减少, 机构的运动出现奇异, 产生奇点.

例如某一 6R 机器人的雅可比矩阵为

$$J = \begin{bmatrix} 0 & -850 & -550 & 0 & 250 & 0 \\ 0 & 0 & 0 & 0 & 0 & 0 \\ 0 & 0 & 0 & 0 & 0 & 0 \\ 0 & -1 & -1 & 0 & 1 & 0 \\ 0 & 0 & 0 & 0 & 0 & 0 \\ 1 & 0 & 0 & 1 & 0 & 1 \end{bmatrix}.$$

从  $J$  中可知, 第 1, 4, 6 列元素完全相同, 这说明相应关节 1, 4, 6 对整体机构产生的影响完全相同. 它们变成线性相关, 相当于一个关节的作用. 机器人的自由度减少到 4, 其余的运动受到限制, 可以说明机器人处于某些方面运动的退化. 另外, 还可看到  $J$  阵中的第 2, 3, 5 行元素的值均为零, 反映这 3 个元素达到极值, 手爪相对于坐标系的运动保持定值, 不能再作为变量, 因此机构的自由度将降低而产生奇异.

从上面的分析, 运动机构产生奇异的原因可归结为:(1) 运动副关节轴线之间的距离即  $H_i$  矢量达最小值甚至为零时, 某些关节将由线性无关变成线性相关. 此时某一关节轴线可能与另一关节轴线共线, 或者几个关节轴线相交并处于同一平面上, 即  $\theta = 0$  (或  $\pi$ ); (2) 终端  $P$  点的运动趋势为超出转角和移动的限制区域, 因而达到极限的恒定值并失去了变量的作用; (3) 机构运动副中某些关节的运动失去了主动力的支配, 却受到约束反力限制致使自由度下降, 因此系统的运动呈现滞留现象, 且执行器的运动不能执行.

为使机器人机构正常运行, 必须避免产生奇异. 其方法:(1) 合理选择姿态元素, 因为雅可比矩阵  $J$  取决于关节转角  $\theta$ , 杆长  $a$ , 扭角  $\alpha$  和副长  $s$ . 因此, 改进机构的构造形状, 可避免关节轴线共轴或汇交(共面)的产生;(2) 规划轨迹应使终端工作点处于机器人机构的工作空间

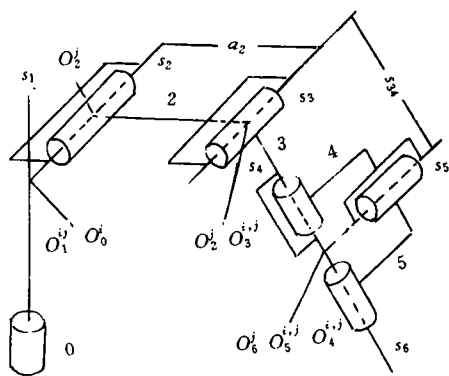


图7 Unimation Puma 控制机构

范围内,避开极值的形成.

## 4 结论

(1) 三次参数曲线奇点的形成,取决于向量  $a=(a_1, a_2, a_3)$  及向量  $b=(b_1, b_2, b_3)$  的合理选择,为避免产生奇点,则必须满足  $I>0$ .

(2) 三次 B 样条曲线奇点的形成与多边形的形状有,文中提供的四类特征三角形所确定的曲线形状,为多边形顶点位置调整和消除奇点提供了依据.

(3) 多边顶点位置的调整,实质上就是调整机构各运动副的转角及姿态元素.然而,转角与姿态元素的作用已归纳于雅可比矩阵  $J$  之中,当轨迹规划中多边形顶点设置超越许可范围,或机构元素(转角、杆长及副长等)设计不合理时,都容易使机构在运动中发生奇异现象.此时  $J$  的秩  $r$  下降,运动呈现滞留,以致不能执行规划的运动.

## 参 考 文 献

- 1 Litvin F L, Parenti C V. Singularities configurations and displacement functions of manipulators. *Int. J. Robotics Res*, 1986, 5(2): 52~65
- 2 Litvin F L, Tan J. Singularities in motion and displacement functions of constrained mechanical systems. *Robotics Res*, 1989, 8(2): 33~36
- 3 Waldron K J, Wang S L. A study of the Jacobian matrix of serial manipulators. *ASME*, 1985, 107(2): 230

## Analysis and Control of Singular Point in B-Spline Curve

Lin Ruilin

(Dept. of Precis. Mech. Eng., Huaqiao Univ., 362011, Quanzhou)

**Abstracts** An analysis is made on the mechanism of the occurrence of singular point in cubic parametric curve and B-spline curve; and on the curve shape determined by polygonal basic elements. The analysis is also made on the relation between the position where singularity occurs in a motion mechanism and the coefficient of end effect. Based on these analyses, the author presents a directly perceived and convenient method for controlling singular point; and provides a basis for preventing the occurrence of singularity in the design of constrained mechanical system.

**Keywords** singular point, B-splines, control, singularity